

## 流出變化에 의한 背水現象 解析

徐承德 · 石基洪

慶北大學校 農科大學 農工學科

### Backwater Computation in River Channel by the Runoff -Frequency

Suh, Seung Duk · Suk, Ki Hong

Dept. of Agric. Eng., Coll. of Agric., Kyungpook Natl. Univ.

#### Summary

Results investigated backwater phenomena at Geumho river basin to get a basic data for Daegu basin area development plan are as the follows.

1. It is a  $A = 0.35 L^{1.848}$  ( $r = 0.97$ ), the relationship between basin area and river length at Geumho river.
2. Dividing the rainfall of Geumho river basin as two parts, a first half rainfall and a second half rainfall, the amount of a first half rainfall appeared 57.5 % comparison with total rainfall.
3. The maximum flood discharge appeared 12 hrs. continuous rainfall rather than 24 hrs. continuous rainfall.
4. Results investigated backwater phenomena from Geumho II bridge to chungchun appeared the rising water level of 69 cm, 55 cm, 44 cm, at section III in the starting point water level of 1.8 m, 2.4 m, 4.0 m respectively.
5. Results investigated backwater phenomena by the flood waterlevel appeared a similar form. There was a average rising waterlevel of 30 cm at section III.

At the results of this computation, it was confirmed that section III was affected the highest backwater phenomena among the observed river reaches in Geumho river.

In addition, this paper should be given a assistance to decide a economic and safe section in construction of bank of river and estuary barrage.

## 緒論

產業의 發達과 더불어 늘어나는 水資源의 供給은 그 必要性을 더해가고 있는 한편 獨特한 氣候現象에 의한 降雨의 夏季 偏重現象으로 인한 風水旱害와 水資源의 損失은 每年 莫大한 量에 이르고 있다. 대구를 둘러 흐르고 있는 琴湖江은 洛東江 流域의 11個 支流中 두번째의 河川으로서 洛東江의 東部에 位置하고 流域面積 2, 088 km<sup>2</sup>, 118.4 km의 河川長을 가지며 韓國의 세번째 都市인 大邱가 下流에 位置하고 있어 地理的으로 開發시키려 함에 있어서는 그 地域周邊의 自然現象이 至極히 重要하기 때문에 本研究에서는 大邱圈 地域開發을 위한 河川工學的側面에서 琴湖江의 背水現象을 調査 연구대상으로 하였는바 즉 웨어, 하천댐 혹은 水門과 같은 河川構造物이나 自然水路의 傾斜, 峽谷 및 蛇行으로 인하여 上流에 水位上昇이 일어나는 背水現象의 경우에 이 流域에 내리는 降雨의 強度와 頻

度에 따르는 洪水量을 算定하여, 이로써 琴湖江上流部의 各地點에 對한 水位上昇을 豫測함으로서 琴湖江流域의 築堤 計劃이나 水利構造物 設計時 安定하고 經濟的인 斷面決定과 홍수예보에 基本資料를 提示하고자 本 調査分析을 實施하였다.

## 使用資料 및 分析方法

### 1. 使用資料

#### 1) 流域

琴湖江流域은 洛東江流域의 主要한 支流中의 하나로 慶北迎日郡立岩里에서 發源하여 内陸工業都市인 大邱市를迂迴하여 洛東江河口로부터 167.4 km인 慶北達城郡城西面 신임동에서 洛東江本流와 合流하고 있다. 本 分析에서는 合流點에서 26 km 上流地點인 琴湖二橋를 始點으로 하여 그 上流를 分析流域으로 使用하였다. (Fig. 1.)

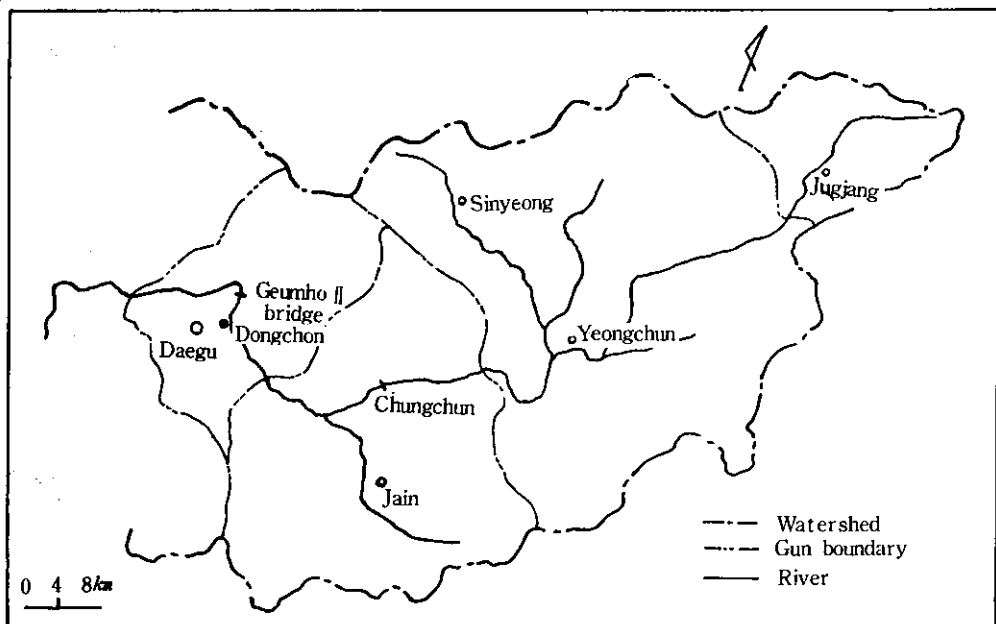


Fig. 1. Map of Geumho river basin.

Table 1. Hydrologic observatory at Geumho river basin

Gaging station	Gage Type	Location	Elevation (m)	Control Authorities
Jain	self recording	Jain Myon, Kyung-san-Gun, Kyung Buk	70.0	Pusan regional office of construction
Yeong Cheon	"	MunNaeRi, Yeongcheon-Gun, Kyung Buk	85.0	"
Sin Yeong	"	SinYeong Myon, Yeong-chen Gun, Kyung Buk	140.0	"
Jug Jang	Manual	zugiang Myon, Yeong-il Gun, Kyung Buk	214.0	"
Daegu	self recoding	Sin Am Dong, DongGu, Daegu	57.8	"

## 2) 降水

本分析에 사용된 降雨量 資料는 琴湖江 流域에 設置된 5 個(慈仁, 永川, 新寧, 竹長, 大邱)觀測所 記錄值<sup>12)</sup>를 利用하여 流域의 一般的 降雨現象을 分析하였고 背水現象 解析에 必要한 流出量 算定을 위한 頻度降雨는 永川地方의 期待確率 降雨量表<sup>13)</sup>를 使用하였다(Table 1, 2, 3).

## 3) 流出量圖

流出解析을 為하여는 琴湖 2 橋에서 산정한 瞬間單位流量圖를 使用하였다(Fig. 2).

## 2. 分析方法

## 1) 河川의 斷面決定

斷面은 區間이 짧을수록 良好한 現象<sup>14)</sup>을 把握할 수 있으므로 下流에서는 1 km內外로 짧게 區間을 選定하였고 上流에서는 6 km程度로 하였으며 分析區間을 清川遊園地까지로 하였다(Table 4).

Table 2. Annual precipitation at Geumho river basin (1962 - 1976) (mm)

Year	Precipitation
1962	721
1963	1125
1964	985
1965	1126
1966	971
1967	860
1968	892
1969	1290
1970	1367
1971	826
1972	1225
1973	959
1974	1161
1975	1139
1976	925
Mean	1038

## 2) 河川傾斜

主河川의 평균경사 산정에는 式(1)과 같은 河

Table 3. Expecting frequency rainfall at Yeongchum

T: return period D: rainfall duration

D \ T	5	10	20	30	50	100	200
1 (hr)	25.9	28.9	31.9	33.2	35.0	37.3	39.5
2 (hr)	38.1	42.5	46.8	48.8	51.4	54.8	58.0
4 (hr)	54.8	61.2	67.4	70.2	74.0	78.9	83.5
6 (hr)	69	77	84	88	93	98	104
12 (hr)	89	99	110	115	120	128	136
24 (hr)	121.3	135.3	149.2	155.4	163.8	174.5	184.7

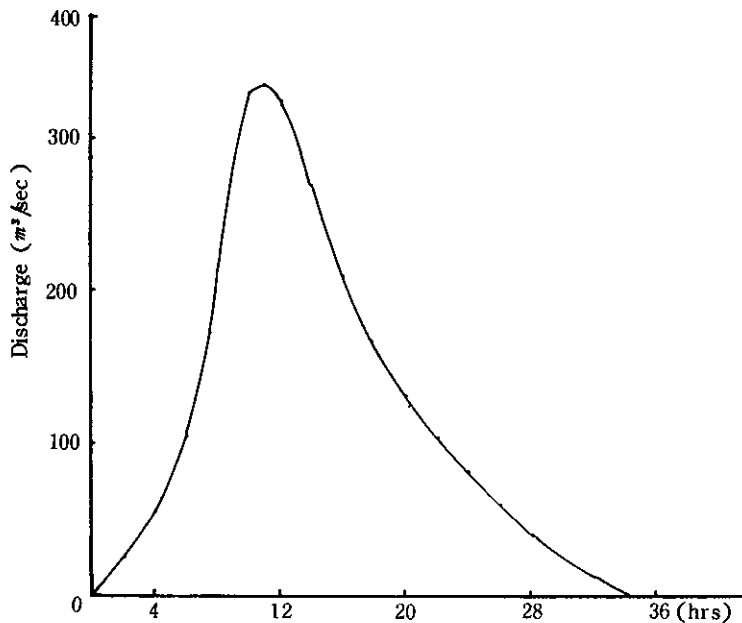


Fig. 2. Instantaneous unit hydrograph at Geumho II bridge.

Table 4. Selected river reaches at Geumho river

Section	Reach (m)	Accumulated Reach (m)	Location
0	0	0	Geumho II Bridge
I	3100	3100	Dong chon A-Yang Bridge
II	1100	4200	Dong chon Cable car
III	1150	5350	Dong chon Primary School
IV	1500	6850	Kyung-buk New Movement training institute
V	6300	13150	An-Sim Bridge
VI	6200	19350	Chung-chun amusement part

川區間長의 傾斜自乘法을 使用하였다.

$$S = \left[ \frac{\sum \ell_i}{\sum (\frac{\ell_i}{\sqrt{s_i}})} \right]^2 \quad \dots \dots \dots \quad (1)$$

### 3) 水位 - 流量曲線

背水位 算定을 水位別로 實시하기 위하여 必要한 水位 - 流量曲線은 琴湖 2 橋를 基準斷面으로 하여 水位와 流量測定值로서 最小自乘法으로 유도하였다.

### 4) 降雨網

一般的 降雨現象을 分析하기 위하여 流域內에 設置된 新寧, 竹長, 慈仁을 對象觀測所로 하여 Thiessen weighing net method로 降雨網을 形成하여 流域의 平均降雨量을 誘導하였다 (Fig 3).

### 5) 累加時間別 降雨

洪水量 算定을 為한 基本過程으로서 期待確率降雨量<sup>(1)</sup>을 累加時間別로 分割하기 위하여 Cornis<sup>(2)</sup>을 使用하였다.

$$DR(x) = C_0 + C_1 X + C_2 X^2 + C_3 X^3 \dots \dots \dots \quad (2)$$

永川地方의 C係數는  $C_0 = -10.5$ ,  $C_1 = 2$ ,  $C_2 =$

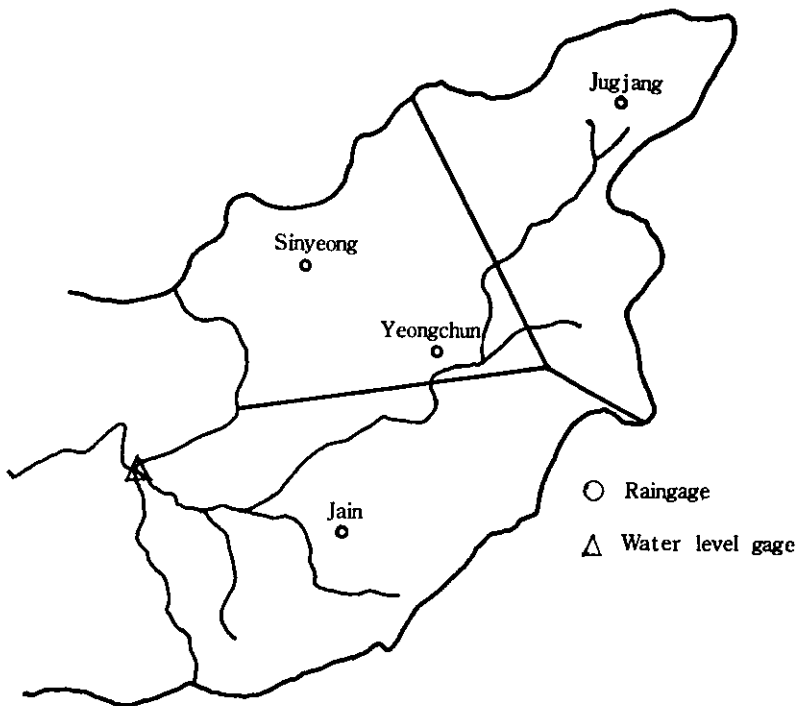


Fig. 3. Thiessen network at Geumho river basin.

$= -0.0165$ ,  $C_3 = 0.0000746^{4)} \circ$  | 르 (2)式에| 代入  
하면 (3)式이 된다.

$$DR(x) = -10.5 + 2X - 0.0165 X^2 \\ \times 0.0000746 X^3 \quad \dots \dots \dots (3)$$

#### 6) 流出量 算定

流出量 算定은 單位流量圖法을 使用하였다<sup>6,7)</sup>:

#### 7) 背水現象

背水位는 河川을 不等流의 水面形으로 假定하고 6個의 區間으로 나누어 各 區間마다 河川測量을 實施하여 斷面積, 河川傾斜, 河川長 및 動水半徑을 計算하였고, 流速 산정은 Manning 公式을 利用하였다. 그리고 洪水量 算定을 위한 流出量 計算은 金湖 2橋에서의 瞬間單位圖를 利用하여 誘導하였다.

한편, 背水位의 計算基點은 金湖 2橋의 零點標高 24.16 m로부터이고 이 용式은 式(4)와 같다.

$$-i + \frac{dh}{dx} + \alpha \frac{Q^2}{2g} \cdot \frac{d}{dx} \left( \frac{1}{A^2} \right) + \frac{Q^2}{C^2 RA^2} = 0 \quad \dots \dots \dots (4)$$

여기에서

$$-i + \frac{dh}{dx} : \text{水面傾斜}$$

$$\alpha \frac{Q^2}{2g} \cdot \frac{d}{dx} \left( \frac{1}{A^2} \right) : \text{運動에 너지 頃斜}$$

$$\frac{Q^2}{C^2 RA^2} : \text{摩擦에 의한 에너지 損失}$$

이에 對한 解析은 Bernoulli 定理를 導入한 Trial - Error method를 利用하여 水面形을 計算하였다<sup>10,11)</sup>:

다시 同一河川의 두 點사이에 Bernoulli 定理를 適用하면

$$h_1 + \frac{\alpha \cdot Q_1^2}{2g A_1^2} = h_2 + i \ell + \frac{\alpha Q_1^2}{2g A_2^2} - h_L \quad (5)$$

가 誘導되고 여기서 摩擦損失水頭  $h_L$  은 Manning 公式을 適用해서

$$h_L = \int_0^L \frac{n^2 \cdot Q^2}{R^{4/3} \cdot A^2} dx \doteq \frac{1}{2} \frac{n^2}{R_1^{4/3} \cdot A_1^2} \\ + \frac{n_2^2}{R_2^{4/3} \cdot A_2^2} Q^2 \cdot \ell \quad (6)$$

가 된다. (6)式을 5式에 代入하면

$$h_1 - i \ell + \frac{\alpha Q^2}{2g A_1^2} + \frac{n^2 \cdot \ell \cdot Q^2}{2 R_1^{4/3} \cdot A_1^2} \\ = h_2 + \frac{\alpha Q^2}{2g A_2^2} - \frac{n^2 \cdot \ell \cdot Q^2}{2 R_2^{4/3} \cdot A_2^2} \text{이 된다.}$$

여기에서

$$h - i \ell + \frac{\alpha Q^2}{2g A_1^2} + \frac{n^2 \cdot \ell \cdot Q^2}{2 R_1^{4/3} \cdot A_1^2} = \psi \\ h + \frac{\alpha Q^2}{2g A_2^2} - \frac{n^2 \cdot \ell \cdot Q^2}{2 R_2^{4/3} \cdot A_2^2} = \psi \text{라 놓으면 } \phi_1 =$$

$\psi_2$  가 되므로 計算하고자 하는 Reach I의 모든 水理量을 알고 Reach II에서  $h$ 를 假定하고 流積과 動水半徑은 Fig 4의 斷面圖에서 해당값을 찾아  $\psi$ 를 試算하였다.

## 結果 및 考察

### 1. 流域

背水現象에 影響을 주는 河川流域의 여러 가지 요인을 調査 分析한 바 다음과 같은 結果를 얻었다.

#### 1) 河川長과 流域面積

琴湖江 流域의 河川長과 流域面積과의 關係를 紛明하기 위하여 log - log paper 上에 plot 한바 좋은 相關이 나타나 이들간을 最小自乘法으로 關係를 誘導한 結果  $A = 0.350 L^{1.33} (r = 0.97)$ 이란 高度의 相關關係를 나타내었다. 이는 D. M. Gray<sup>15)</sup>가 Canada의 河川流域에서 誘導한 式과

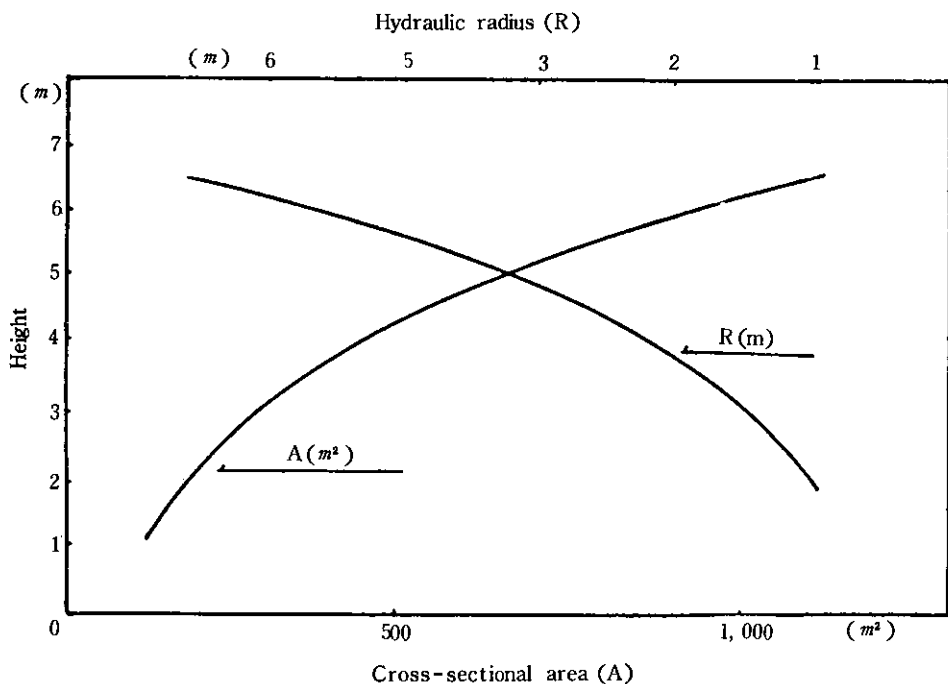


Fig. 4. Cross-sectional area & hydraulic radius verse water level.

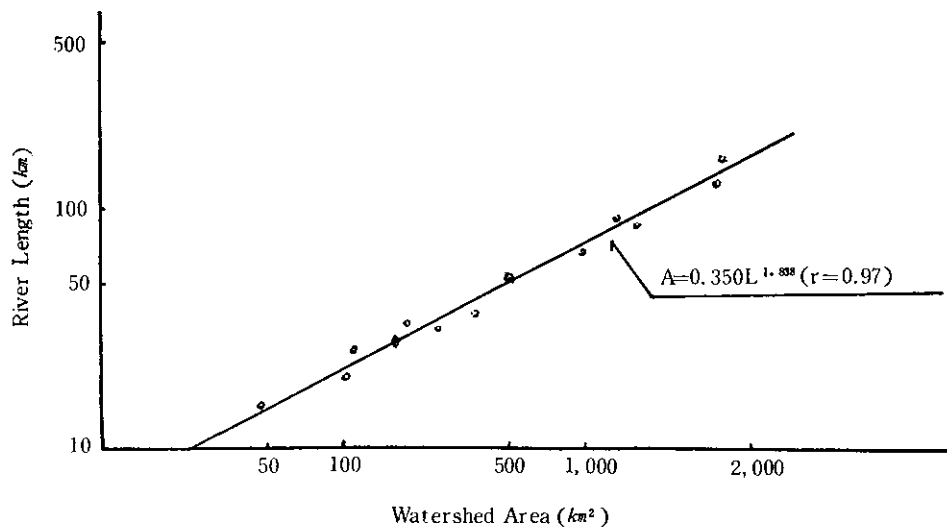


Fig. 5. The relationship between watershed area & river length.

比較해 볼 때 보편적인 河川狀態임을 보여주었다(Fig. 5).

## 2) 河川傾斜

背水現象 解析時 河川傾斜는 洪水波에 直接的

인 影響을 미치므로 流量計算上 重要한 要素中의 하나이다<sup>6)</sup>.

本 流域에서의 河川傾斜는 1/1,190로 나타났으며 河川의 傾斜가 比較的 均一하여 流水의 變

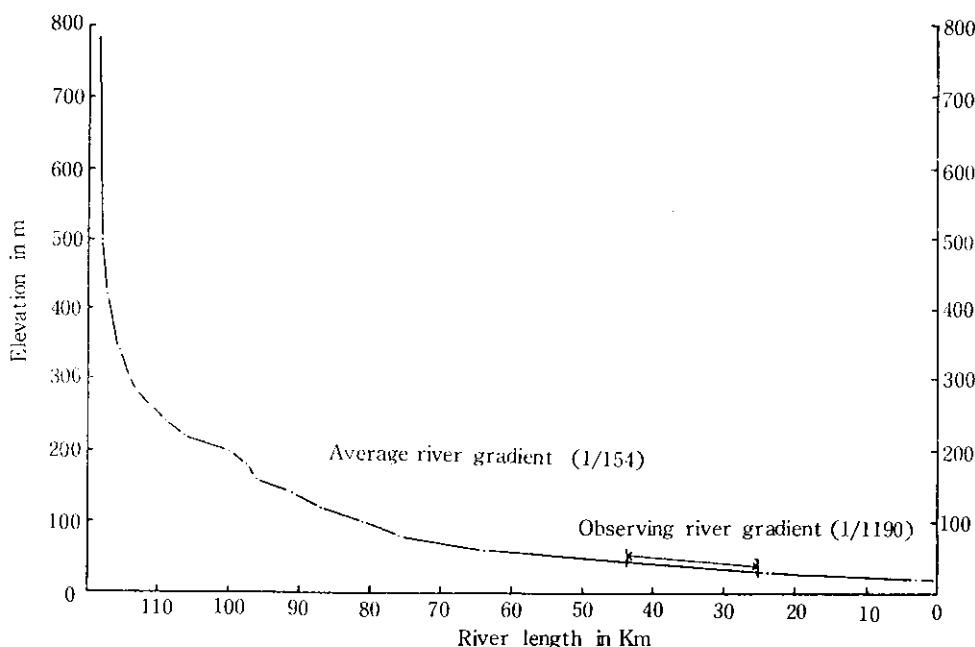


Fig. 6. Longitudinal section of the Geumho river.

速이 河川傾斜에 의하여는 심하지 않을 것이므로 洪水波에 의한 不規則한 背水現象은 發生하지 않을 것으로 解析된다.<sup>6)</sup> (Fig. 6 參照).

### 3) 水位 - 流量曲線(H-Q curve)

始點인 琴湖 2橋에서의 H-Q curve를 最小自乘法으로 算定한 結果  $Q = 72.975 H^{1.988}$  ( $r = 0.998$ )가 導出되었고 이 式에 의하여 頻度別降雨에 의하여 發生하게 될 水位別 流出量에 對한 背水位現象을 解析할 수 있을 것으로 思料된다.

## 2. 累加 時間別 頻度雨量

累加 時間別 頻度雨量 算定을 為하여 三次 多項式模型을 利用하였는데 여름철 降雨의 一般的形態를 標準으로 하여 4時間, 6時間, 12時間, 24時間 降雨로 나누고 10年, 30年, 50年, 100年, 200年 頻度의 20個 Model을 選擇하여 算定하였고 이 가운데 洪水解析에 많이 使用되는

12時間 - 100年 頻度時의 累加雨量을 표본으로 나타내면 Table 5와 같다.

分析結果 降雨의 形態를 前·後期로 나누어 볼 때 前般期의 降雨가 全 降雨에 對하여 57.5%로 나타나 前期의 降雨가 더 많은 것으로 나타났는데 이것은 서울지방의 63.35% 보다는 적으나 부산지방의 48.5% 보다는 많은 경향을 보여주고 있으며 광주지방의 57.5%라는 비슷한 結果이며 12時間연속강우中 50% 以上이 6시간이나 내에 강하하는 결과로서 洪水豫報나 홍수재해방지대책에 좋은 參考 資料가 될 것으로 解析된다.

### 3. 洪水量 算定

單位流量圖<sup>11)</sup>를 利用한 洪水量은 Table 6과 같다.

Table 6에서 24시간 持續降雨보다는 12시간 持續降雨와 6시간 持續降雨가 더 큰 洪水流

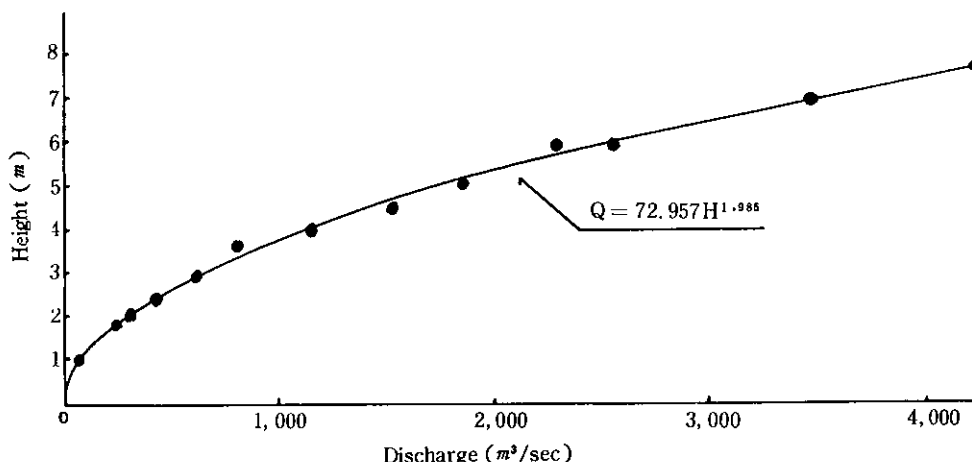


Fig. 7. Rating curve at Geumho bridge.

Table 5. Model for divided rainfall (12 hrs. - 100 year frequency)

Item	Time	2	4	6	8	10	12
Accumulated rainfall ratio (%)		18.5	40.5	57.5	71.6	84.7	100
Divided rainfall ratio (%)		18.5	22	17	14.7	13.1	14.1
Divided rainfall (mm)		23.7	28.1	21.7	18.0	16.7	18.4

Table 6. Runoff &amp; water level of each duration &amp; frequency

Duration (hrs.) — Frequency	Rain-fall (mm)	Runoff (m/sec)	Water-level(m)	Duration(hrs.) — Frequency	Rain-fall (mm)	Runoff (m/sec)	Water-level(m)
4 — 10	61.2	2052	5.5	6 — 10	77	2361	5.76
4 — 30	70.2	2352	5.7	6 — 30	88	2695	6.15
4 — 50	74	2479	5.9	6 — 50	93	2849	6.33
4 — 100	78.9	2643	6.1	6 — 100	98	3005	6.5
4 — 200	83.5	2797	6.28	6 — 200	104	3173	6.69
12 — 10	99	2393	5.8	24 — 10	135.5	2201	5.56
12 — 30	115	2776	6.25	24 — 30	155.4	2559	6.0
12 — 50	120	2902	6.4	24 — 50	163.8	2767	6.24
12 — 100	128	3082	6.6	24 — 100	174.5	2942	6.43
12 — 200	136	3267	6.79	24 — 200	184.7	3083	6.6

Table 7. Demonstration of flood runoff by the u/g

Time	Rainfall	Rainfall 10	u/g Ordi-nate	Q <sub>1</sub>	Q <sub>2</sub>	Q <sub>3</sub>	Q <sub>4</sub>	Q <sub>5</sub>	Q <sub>6</sub>	Total
0	23.7	2.37	0	0						
2	28.1	2.81	24	56.9	0					
4	21.7	2.17	54	128	67.4	0				
6	18.0	1.8	103	244.1	151.7	52.1	0			
8	16.7	1.67	200	474	289.4	117.1	43.2	0		
10	18.4	1.84	327	775	562	223.5	97.2	40	0	
12			341	808.1	918.8	434	185.4	90	44.1	2480.4
14			266	630.4	958.2	709.6	360	172	99.3	2929.5
16			207	490.6	747.4	740	588.6	334	189.5	3080.1
18			167	395.8	581.7	577	613.8	546.1	368	3082.4
20			149	353.1	469.3	449	478.8	569.5	601.7	2921.4
22			103	244.1	418.7	362.4	372.6	444.2	327.4	
24			80	189.6	289.4	323.3	300.6	345.7	489.4	
				224.8	223	268.2	278.9	380.9		
					173.6	185.2	248.8	307.2		
						144	172	274.1		
							133.6	289.5		
								147.2		

量을 發生시켰는데 이것은 여름철 降雨가 빠른 여 준다. Table 7 은 流出量算定의 한 예이다.

流出로 나타나므로 24 시간자속강우보다는 12.6

時間持續降雨에서 더 높은 peak 流量을 나타낸

다는 것을 알 수 있다. 즉 降雨持續時間보다는

降雨強度의 위력이 더 크게 作用한다는 것을 보

#### 4. 背水現象 解析

金湖 2 橋에서의 1.8 m(低水位), 2.4 m (平水位) 및 4 m(高水位) 時의 背水位 上昇을 計算한

Table 8. Backwater computation for the ordinary waterlevel ( $H = 2.4$ )

Section	1	2	3	4	5	6	7	8	3+5+8	2+5-8	Remarks
	Length (m)	H (m)	H-il (m)	A (m <sup>2</sup> )	$\alpha Q^2/2gA^2$	R (m)	$n^2Q^2/2R^{4/3}A^2$ ( $\times 10^{-3}$ )	$7 \times L$	0		
Start I	3,100	2.40	-0.21	325	0.09507	1.97	0.42016	1.3445	1.2345		
	"	2.60	-	331	0.09166	1.73	0.48168	1.4932		1.1984	
	"	2.61	-	333	0.09056	1.74	0.47408	1.4897		1.2309	
Start II	1,100	2.61	1.69	333	0.09056	1.74	0.47408	0.5215	2.2976		
	"	2.83	-	303	0.10938	1.70	0.58838	0.6472		2.2921	$n=0.035$
Start III	1,150	2.83	1.86	303	0.10938	1.70	0.58838	0.6766	2.6496		$I=1/1,190$
	"	2.00	-	410	0.05974	1.85	0.27080	0.3158		2.7439	$Q=423 m^3/sec$
	"	2.95	-	400	0.06280	1.82	0.30830	0.3545		2.6583	$\alpha=1.1$
Start IV	1,500	2.95	1.69	400	0.06280	1.82	0.30830	0.4624	2.2146		$\alpha Q^2=196,833$
	"	2.75	-	348	0.08292	1.97	0.36646	0.5497		2.2832	$n^2Q^2=219.2$
	"	2.73	-	340	0.08687	1.92	0.39730	0.5959		2.2109	
Start V	6,300	2.73	-2.56	340	0.08687	1.92	0.39730	2.5030	0.0259		
	"	2.60	-	352	0.08105	1.66	0.45004	2.8352		-0.1541	
	"	2.63	-	357	0.07879	1.68	0.43058	2.7127		-0.0039	
Start VI	6,200	2.63	-2.58	357	0.07879	1.68	0.43058	2.6696	0.1684		
	"	2.80	-	321	0.09746	1.40	0.67914	4.2006		1.3000	
	"	2.98	-	370	0.07336	1.50	0.46624	2.8907		0.1625	

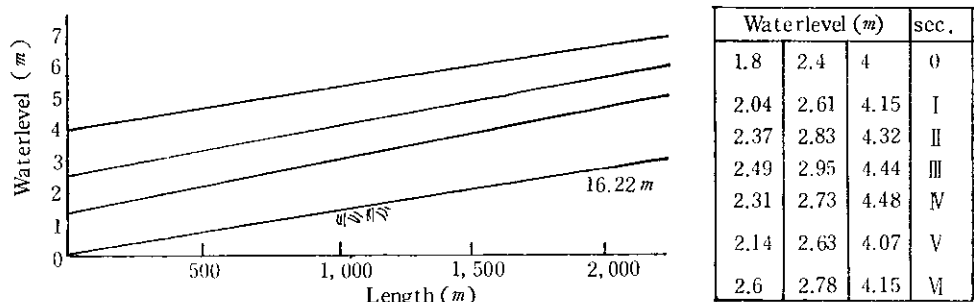
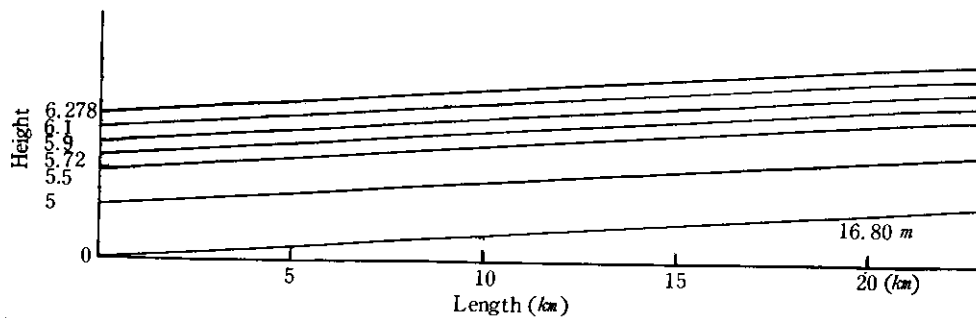


Fig. 8. Backwater curve at the gage height of 1.5, 2.4, 4.0 m.

결과가 Table 8, Fig 8과 같다.

이상의 결과를考察하면 각각의 수위에 따른 배수位上昇은 일정한 수위上昇을 나타내 있는데 斷面Ⅲ(東村國民學校앞 地點)에서는 각각 1.8 m時 69 cm, 2.4 m時 55 cm, 4 m時 44 cm의 수위上昇을 보여주고 있는바 이는 斷面Ⅲ에서의 河川斷面積이 다른 斷面과 比하여 減縮되었음을 알 수 있고, 한편으로는 이 부분의 홍수터가 넓다는 것을 의미하므로 홍수터의 크기가 배수現象에 주는 영향이 큰 것으로 나타났다.<sup>1), 2)</sup> 또한 수

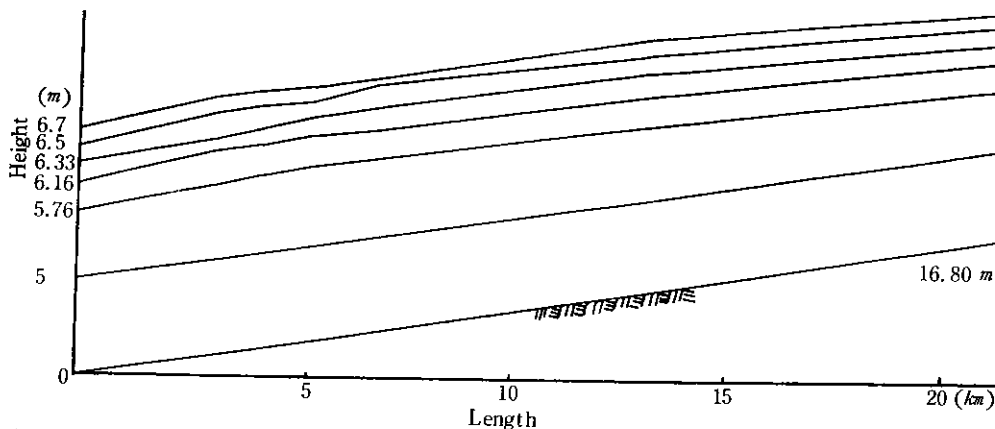
位 4 m時의 배수現象結果에서는 斷面V, VI에서는 각각 7 cm, 15 cm로 나타나 배수位의 影響은 上流쪽에서는 별 影響이 없는 것으로 해석되 있다. 한편 頻度別洪水流출에 따르는 배수位上昇은 Fig 9, 10, 11, 12에서 보는 바와 같이 각 斷面에서 類似한 배수位上昇 및 下降을 일으키고 있는데 대체로 斷面I, II, III에서는 10 cm, 20 cm, 30 cm 程度의 上昇이 일어나고 斷面Ⅲ 이후 IV, V, VI에서는漸進的水位下降을 가져와서 斷面VI(청천)에서는 10 cm 程度의 水位低下



Section	Reach (m)	Accumreach (m)	Height (m)
0	0	0	0
I	3,100	3,100	2.6
II	1,100	4,100	3.53
III	1,150	5,350	4.5
IV	1,500	6,850	5.75
V	6,300	13,150	11.0
VI	6,200	19,350	16.22

Sec- tion	Weterlevel (m)				
	10Year	30Year	50Year	100Year	200Year
0	5.5	5.72	5.9	6.1	6.278
I	5.605	5.91	6.12	6.4	6.578
II	5.72	5.97	6.2	6.4	6.578
III	5.83	6.03	6.23	6.44	6.628
IV	5.715	5.99	6.2	6.4	6.628
V	5.605	5.89	6.1	6.28	6.428
VI	5.37	5.62	5.85	5.95	6.128

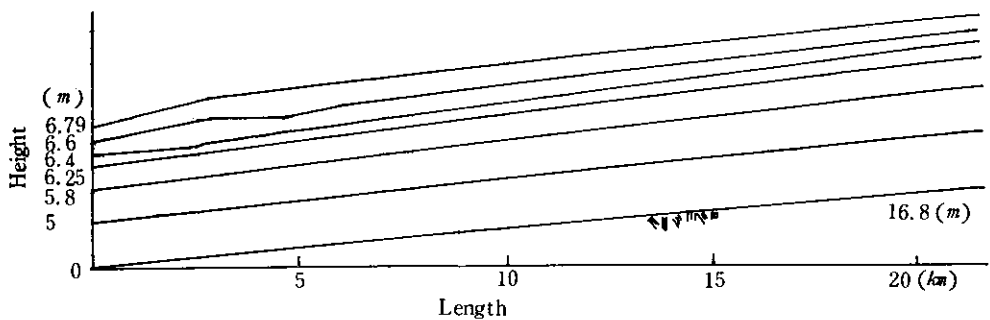
Fig. 9. Backwater curve of 4 hrs. - rainfall duration at each frequency.



Section	Raech (m)	Accumreach (m)	Height (m)
0	0	0	0
I	1,100	3,100	2.6
II	1,100	4,200	3.53
III	1,150	5,350	4.5
IV	1,500	6,850	5.75
V	6,300	13,150	11.0
VI	6,200	19,350	16.22

Sec- tion	Waterlevel (m)				
	10Year	30Year	50Year	100Year	200Year
0	5.76	6.16	6.33	6.5	6.7
I	5.96	6.46	6.45	6.85	7.06
II	6.01	6.46	6.54	6.82	6.98
III	6.07	6.5	6.62	6.805	6.96
IV	6.03	6.46	6.63	7.03	6.95
V	5.93	6.34	6.57	6.73	6.98
VI	5.66	6.01	6.21	6.4	6.541

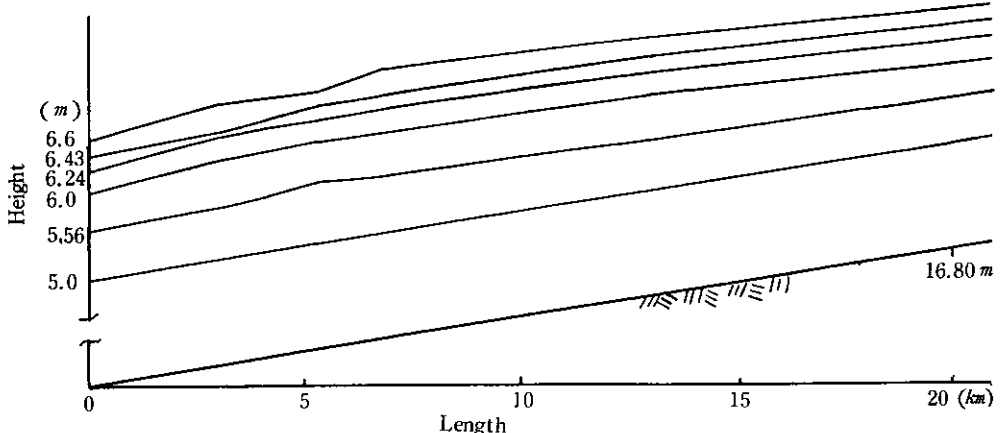
Fig. 10. Backwater curve of 6 hrs. - rainfall duration at each frequency.



Section	Reach (m)	Accumreach (m)	Height (m)
0	0	0	0
I	3,100	3,100	2.6
II	1,100	4,200	3.53
III	1,150	5,350	4.5
IV	1,500	6,850	5.75
V	6,300	13,150	11.0
VI	6,200	19,350	16.22

Sec-tion	Waterlevel (m)				
	10Year	30Year	50Year	100Year	200Year
0	5.8	6.25	6.4	6.6	6.79
I	6.0	6.58	6.52	6.95	7.15
II	6.05	6.56	6.61	6.92	7.07
III	6.11	6.58	6.69	6.91	7.05
IV	6.07	6.58	6.7	7.13	7.04
V	5.97	6.48	6.64	6.83	7.07
VI	5.7	6.15	6.28	6.5	6.63

Fig. 11. Backwater curve of 12 hrs. - rainfall duration at each frequency.



Section	Reach (m)	Accumreach (m)	Height (m)
I	0	0	0
II	3,100	3,100	2.6
III	1,100	4,200	3.53
IV	1,150	5,350	4.5
V	1,500	6,850	5.75
V	6,300	13,150	11.0
VI	6,200	19,350	16.22

Sec-tion	Waterlevel (m)				
	10Year	30Year	50Year	100Year	200Year
0	5.56	6.0	6.24	6.43	6.6
I	5.615	6.3	6.57	6.55	6.95
II	5.73	6.3	6.55	6.64	6.92
III	5.84	6.34	6.57	6.72	6.905
IV	5.725	6.3	6.57	6.73	7.13
V	5.516	6.18	6.47	6.67	6.83
VI	5.48	5.85	6.14	6.31	6.5

Fig. 12. Backwater curve of 24 hrs. - rainfall duration at each frequency.

現象을 보여주고 있는데 이는 高水位일 때 淸川의 河川斷面積이 他區間에 比하여 넓기 때문인 것과 홍수터의 發達여부에 따라 背水位上昇이 영향을 받는다는 사실 및 水位上昇에 따라서는 背水位도 上昇하나 河川區間에 따라 降下하는 河川特性을 나타내며 이로 인하여 전체 背水位 영향구간內의 背水位도 上昇의 문화를 가져 온다는 사실이 밝혀졌다(Fig. 9, 10, 11, 12).

## 結論

琴湖江을 기준으로하여 背水現象을 降雨頻度에 따라 流出別로 조사분석한 結果 다음과 같은 結論을 얻었다.

- 流域面積과 河川長과의 關係는  $A = 0.350L^{1.03}$ 로서  $r = 0.97$ 인 高度의 相關有意性을 가졌다.
- 降雨의 形態를 累加時間別로 前後期로 나누어 본 結果 琴湖江流域의 降雨形態는 한 降雨事象에 대하여 前般期에 57.5%로서 降雨가始作하면서 初期에 강수량이 많은 것으로 나타났다.

3. 洪水量은 24時間連續降雨發生時 보다 12時間連續降雨時에 最大를 나타내었다.

4. 琴湖2橋의 水位가 1.8m, 2.4m, 40m일 때 背水位는 斷面Ⅲ에서 가장 크게 일어났는데 각각 69cm, 55cm, 44cm의 背水位上昇이 일어나 다른 단면보다 크게 나타났다.

5. 洪水流出量에 따른 背水現象은 단면 I, II, III에서 각각 10cm, 20cm, 30cm의 上昇이 일어났다. 斷面IV부터는 水位가 下降하기 시작하여 斷面VI에서는 平均 10cm의 水位下降을 보였다.

結論的으로 대부분의 琴湖江 지역에서 背水位上昇으로 인한 水位上昇에는 큰 問題點이 없는 것으로 해석되었는데 安心橋 部近에서 堤防높이가 땀곳에 比하여 6m 80cm程度 낮아서 6時間 100年 및 200年 頻度時, 12時間 100年 및 200年 頻度時 그리고 24시간 200年 頻度降雨時에는 背水位上昇으로 河川의 沼溢이豫想되어 아직 自然堤防으로 남아있는部分의 조속한 築堤가 要求되며, 본 분석을 통하여 얻은 결과는 장차의 堤防設置時에 기본자료로 크게 도움이 될 것으로期待된다.

## 参考文獻

- 建設部. 1977. 琴湖江流域調查報告書.
- \_\_\_\_\_. 1977. 洛東江 河川整備基本計劃.
- 崔榮博 外. 1977. 水理學. 光林社 pp. 240 - 250.
- 農業振興公社. 1980. 韓國의 降雨分析結果 및 降雨曲線과 그 利用.
- 慶尚北道. 1975. 慶北統計年報. pp. 62 - 162.
- 尹龍男. 1978. 水文學. 清文閣. pp. 306 - 360.
- 朴成宇 外. 1984. 應用水文學. 鄉文社. pp. 59 - 61, 143 - 144.
- 李淳赫. 1979. 主要水系의 小流域에 對한 瞬間單位圖 誘導에 關한 研究. 韓國農工學會誌 4296 - 4398.
- 徐承德. 1977. 大邱圈地域開發을 위한 琴湖江 및 周邊河川의 水文, 水理 및 河川形態學的研究. 慶北大學校論文集 23; 347 - 369.
- \_\_\_\_\_. 1972. 河川의 取入水門設置에 依한 背水現象과 洪水調節研究. 慶尚大論文集 pp. 41 - 52.
- \_\_\_\_\_. 1966. 流域特性과 流出追跡에 依한 單位圖解剖에 關한 考察. 農業土木學會誌 8 (1); 1089 - 1094.
- 建設部. 1962 - 1976. 韓國水文調查年報.
- U.S. Army. 1959. Backwater Curves in River Channels. Manuals-Crops of Engineers E. M. 1100 - 2 - 1409, pp. 2 - 44.

14. Bell, R. C. 1968. Estimating design floods for extreme rainfall. Colorado State Univ Hydrology Papers, No. 29, pp. 7 - 10.
15. Gray, D. M.: Derivation of hydrology for small watersheds from measurable physical characteristics, Ames, Iowa, Dept. of Agri. Engineering Research Bull. 506; 522 - 539.
16. Nash, J. E.: Determination run off from rainfall, Proc. Inst. Civil Engineers 10;
- 165 - 181.
17. U. S. Army, 1960. Flood - hydrograph analysis and computations, Manuals - crops of Engineers. E. M. 110 - 2 - 1405, pp. 10 - 20.
18. S. C. S. 1969. Engineering Hand Book, Hydraulics, pp. 2 - 14.
19. U. S., Geological survey, Storage and flood routing, Manual of hydrology part B, water supply paper 1543 - B, pp. 82 - 87.